

**مقاله علمی - پژوهشی:**

# پویایی جمعیت و نسبت پتانسیل مولدین براساس طول ماهی هور (Thunnus tonggol Bleeker, 1851) در آبهای شمالی دریای عمان (سواحل استان سیستان و بلوچستان)

سید احمد رضا هاشمی<sup>\*</sup>، مسٹوره دوستدار<sup>۲</sup>

<sup>\*</sup>Seyedahmad91@gmail.com

۱- مرکز تحقیقات شیلاتی آبهای دور، مؤسسه تحقیقات علوم شیلاتی کشور، سازمان تحقیقات، آموزش و ترویج کشاورزی، چابهار، ایران

۲- مؤسسه تحقیقات علوم شیلاتی کشور، سازمان تحقیقات، آموزش و ترویج کشاورزی، تهران، ایران

تاریخ پذیرش: خرداد ۱۴۰۳

تاریخ دریافت: بهمن ۱۴۰۲

**چکیده**

در این تحقیق، خصوصیات جمعیتی و نسبت پتانسیل مولدین براساس طول (*Thunnus tonggol*) (LBSPR) بررسی شد. برای این منظور، اطلاعات از ۴ منطقه تخلیه صید در سواحل استان سیستان و بلوچستان شامل بریس، پسابندر، پز و کنارک جمع آوری شد. در مجموع، بیش از ۷۰۰ عدد ماهی در ایستگاه‌های تحقیق (مناطق تخلیه صید)، مورد زیست‌سنگی قرار گرفت و شاخص‌های رشد به ترتیب شامل طول بینهایت (سانتی‌متر)  $L_{\infty} = 132$ ، ضریب رشد سالانه  $K = 0.39$ ، مرگ‌ومیر طبیعی سالانه  $M = 0.61$ ، مرگ‌ومیر صیادی سالانه  $F = 0.88$ ، مرگ‌ومیر کل سالانه  $Z = 1/49$ ، ضریب بهره‌برداری سالانه  $E = 0.59$ ، سن در طول صفر  $t_0 = 0.28$  سال و میزان شاخص عمکرد رشد (فایم پریم مونرو)  $\Phi = 3/84$  به دست آمد. نسبت پتانسیل مولدین براساس طول در سال ۱۴۰۱ برای این گونه  $LBSPR = 0.21 / 0.16$  بود. این تحقیق نشان داد که این گونه دارای آسیب‌پذیری متوسط و وضعیت ذخیره متوسط بوده و میزان برداشت سالانه از ذخیره این گونه، در مرحله صید بی‌رویه قرار گرفته است.

**لغات کلیدی:** استان سیستان و بلوچستان، ماهی هور، خصوصیات جمعیتی، نسبت پتانسیل مولدین

\*نوبنده مسئول



Copyright: © 2023 by the authors. Licensee MDPI, Basel, Switzerland. This article is an open access article distributed under the terms and conditions of the Creative Commons Attribution (CC BY) license (<https://creativecommons.org/licenses/by/4.0/>).

**مقدمه**

(and Nauen, 1983). ماهی هور (تون ماهی دم دراز) (*Thunnus tonggol*) گونه‌ای کرانه‌ای و سطحی، ساکن مناطق گرمسیر و نیمه گرمسیر مابین عرض‌های ۴۷ درجه شمالی و ۳۳ درجه جنوبی است که در اقیانوس هند و آرام، دریای سرخ و تا جنوب استرالیا و شمال ژاپن دیده می‌شود (Griffiths *et al.*, 2010). در اعمق سطحی وجود دارد (معمولًاً تا اعماق ۱۰۰ متر) و بالغین به اعمق بالاتر و نواحی دورتر از ساحل تمایل دارند (برعکس نابالغین). برای این گونه، حداکثر طول ۱۴۵ سانتی‌متر (معمولًاً حدود ۷۰ سانتی‌متر)، حداکثر وزن ۳۶ کیلوگرم و حداکثر سن ۱۹ سال گزارش شده است (Collette and Nauen, 1983; Froese and Pauly, 2022). گروه تون ماهیان (تون، شبه تون و نیزه ماهی) حدود ۹ درصد صید جهانی را به خود اختصاص می‌دهند و ماهی هور حدود ۲۳۷ هزار تن در جهان صید می‌شود (FAO, 2018). در اقیانوس هند بیش از ۱۳۵ هزار تن از این گونه صید می‌شود و ابزار اصلی صید آن تور گوشگیر و کشورهای عمدۀ بهره‌بردار در اقیانوس هند به ترتیب شامل ایران، اندونزی و عمان هستند (IOTC, 2020). تون ماهی دم دراز از جمله ماهیان سطح‌زی درشت و از ماهیان با ارزش اقتصادی در جنوب ایران بوده که در چند سال اخیر میزان صید آن در استان سیستان و بلوچستان افزایش یافته است و در آبهای جنوب ایران در سال ۱۴۰۱ حدود ۵۰ هزار تن ماهی از این گونه صید شده است که استان سیستان و بلوچستان بیش از ۴۸ درصد صید این گونه را به خود اختصاص داده است (Iranian Fisheries Organization, 2023).

تون ماهیان در دنیا، عمدها در آسیا به خصوص اندونزی به عنوان تولیدکنندگان اصلی، صید می‌شود و سایر کشورهای مهم در صید تون ماهیان در آسیا شامل ایران، ویتنام، ژاپن و فیلیپین هستند. کشورهای اسپانیا و فرانسه در قاره اروپا و کشورهای اکوادور و ایالات متحده در قاره آمریکا، کشورهای مهم در صید تون ماهیان به حساب می‌آیند و تعداد ذخیره تون ماهیان تجاری در جهان را ۲۳ ذخیره می‌دانند که گونه‌ها را به صورت اقیانوس مورد بررسی قرار می‌دهند (Arrizabalaga *et al.*, 2012). مهم‌ترین گروه از ذخیره‌سنج زیان درشت، تون ماهیان هستند از منابع مهم اقتصادی صیادی مناطق جنوبی کشور محسوب می‌شوند و نیاز عمده کارخانجات کسروسازی کشور را تامین می‌کنند.

در سال‌های اخیر نشانه‌های بارزی از برداشت بی‌رویه و غیرمنطقی از ذخایر عمدۀ ماهیان و سایر آبزیان، شامل خسارت‌های جدی به زیست‌بوم‌های آبی و زیان‌های اقتصادی موازی با فعالیت‌های شیلاتی به‌چشم می‌خورد. بر اساس مطالعات انجام شده، نسبت ذخایر با سطح پایدار زیستی (BSLs)<sup>۱</sup> به ذخایر با سطح ناپایدار زیستی (BULs)<sup>۲</sup> در سال ۱۹۷۴ حدود ۹۰ درصد بوده و در سال ۲۰۱۶ به حدود ۶۷ درصد رسیده است. بدین‌ترتیب، سطوح ناپایدار ذخایر، یک اصل مورد تأکید جهانی و یک معیار کلیدی در پایداری بهره‌برداری از تمام منابع آبزی است. تلاش تمام مدیران شیلاتی برای دسترسی به تأمین غذای کافی و مطمئن از منابع طبیعی و تأمین نیاز جوامع بشری، با درنظر گرفتن میزان بهره‌برداری مجاز و صحیح از آنها متمرکز شده است (Ganga and Pillia, 2000).

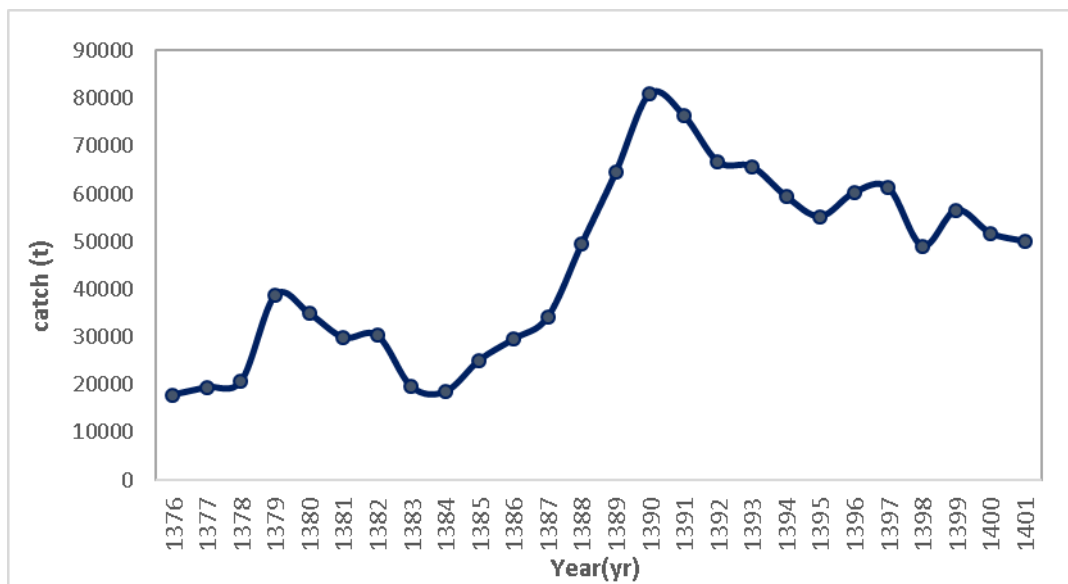
حدود ۸۰ درصد صید جهانی از گونه‌های آبزی فاقد ارزیابی ذخایر رسمی با داده‌های کافی و مناسب هستند (Kokkalis *et al.*, 2016). در سال‌های اخیر با توجه به کمبود داده برای بسیاری از ذخایر صیادی، رویکردهای ارزیابی با داده‌های محدود و ارزیابی بر پایه داده‌های صید گسترش یافته است (Ovando *et al.*, 2022) و این موضوع در مورد کشورهای کمتر توسعه یافته با تنوع بالای گونه‌ای بیشتر (Zhou *et al.*, 2018, Free *et al.*, 2014; Rosenberg *et al.*, 2014; Kokkalis *et al.*, 2016). بررسی وضعیت ذخیره و نقاط مرجع شیلاتی (FRP)<sup>۳</sup> از موارد مهم و تأثیرگذار بر مدیریت شیلاتی بوده و برای بسیاری از ذخایر شیلاتی در جهان به طور رسمی چنین نقاطی وجود نداشته و میزان بهره‌برداری و وضعیت ذخیره آنها ناشناخته است (Ovando *et al.*, 2022) که رویکردهای ارزیابی با داده‌های محدود می‌تواند در این امر مفید فایده باشند (Rosenberg *et al.*, 2014; Kokkalis *et al.*, 2016).

تون ماهیان از راسته Perciformes و خانواده Collette (15 جنس و ۵۲ گونه) است (Scombridae)

<sup>1</sup> Biologically Sustainable Levels (BSLs)

<sup>2</sup> Biologically Unsustainable Levels (BULs)

<sup>3</sup> Fisheries Reference Points (FRP)



شکل ۱: روند صید و تخلیه ماهی هوور در آبهای جنوب کشور طی سال‌های ۱۴۰۱-۷۶

Figure 1: The catch and landing trend of longtail tuna fish on the southern waters of the country from 1997-2022

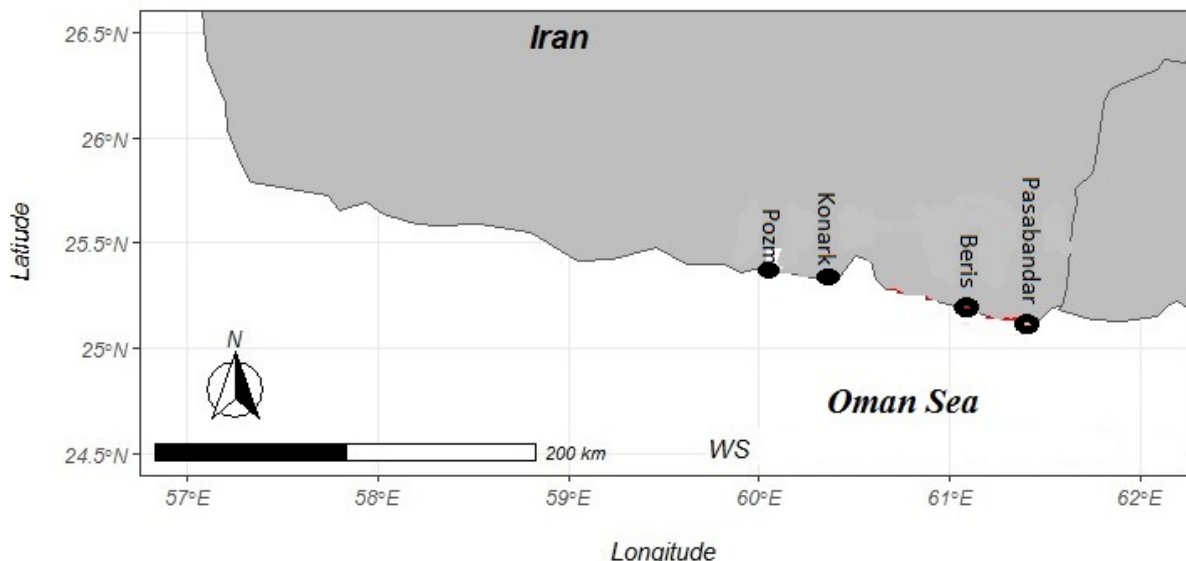
(et al., 2009)). این تحقیق درباره خصوصیات جمعیتی و نسبت پتانسیل مولдин ماهی هوور صید شده در آبهای شمالی دریای عمان بوده و هدف این تحقیق تهیه اطلاعات پایه‌ای جهت شناخت و مدیریت صحیح و اصولی در بهره‌برداری و درک بهتر ویژگی‌های زیستی و جمعیتی این گونه است.

## مواد و روش کار

منطقه نمونه برداری در آبهای استان سیستان و بلوچستان بین طول جغرافیایی  $60^{\circ}28'$  الی  $61^{\circ}20'$  شرقی و عرض جغرافیایی  $25^{\circ}14'$  الی  $25^{\circ}06'$  شمالی قرار دارد و چهار منطقه تخلیه صید در بنادر پزم با طول جغرافیایی  $60^{\circ}28'$  شرقی و عرض جغرافیایی  $25^{\circ}14'$  شمالی، بندر کنارک با طول جغرافیایی  $26^{\circ}00'$  شرقی و عرض جغرافیایی  $25^{\circ}00'$  شمالی، بندر بربیس با طول جغرافیایی  $61^{\circ}15'$  شرقی و عرض جغرافیایی  $25^{\circ}16'$  شمالی، بندر پسابندر با طول جغرافیایی  $20^{\circ}61'$  شرقی و عرض جغرافیایی  $25^{\circ}12'$  شمالی در استان سیستان و بلوچستان به عنوان ایستگاه‌های نمونه برداری از ماهی هوور انتخاب گردید (شکل ۲).

عمده گونه‌های موجود در آبهای جنوبی کشور شامل ماهی هوور، تون زرده باله (گیدر)، هوور مسقطی، زرده، و تون منقوش هستند که گونه‌های مذکور در کشورهای هند، اندونزی، مالدیو، عمان، پاکستان، سریلانکا، تایلند و امارات متحده عربی، در آبهای حوزه شمال غربی اقیانوس هند و دریای عمان نیز صید می‌شوند. با در نظر گرفتن روند افزایشی صید در چند ساله اخیر و واکنش‌های احتمالی جمعیت به این افزایش، نیاز به اطلاعات به روز شده در خصوص ذخایر این گونه بیش از پیش احساس می‌گردد. گونه‌های سطح‌زی اقیانوسی در آبهای مناطق حاره‌ای اقیانوس‌های جهان زیست می‌کنند. این ماهیان از توانایی مهاجرت طولانی برخوردارند که نشان‌دهنده روابط پیچیده آنها با شرایط اقیانوسی است. این شرایط برای مراحل لاروی، ماهیان جوان و بالغین متفاوت است. لاروها و ماهیان جوان اکثر گونه‌ها، بیشتر در آبهای حاره‌ای زیست می‌کنند در حالی که ماهیان بزرگ‌سال پراکندگی گستردگی تری دارند. تغییرات و پراکندگی این ماهیان کوچ نشین<sup>۱</sup> به اختلافات بین تاریخچه زیست، الگوهای مهاجرت و زیستگاه‌هایی که تحت تاثیر شرایط محیطی ناپایدار (درجه حرارت، الگوهای جریانات دریایی، دسترسی به غذا) بستگی دارد Kaymaram

<sup>1</sup> Nomadic



شکل ۲: موقعیت مناطق جمع آوری اطلاعات ماهی هور در آبهای شمالی دریای عمان (سواحل استان سیستان و بلوچستان)

Figure 2: The location of longtail tuna fish data collection areas on the northern waters of the Oman Sea (coasts of Sistan and Baluchistan province)

رابطه طول چنگالی و وزن از فرمول ذیل محاسبه گردید.

$Wi = a \cdot Li^B$

$Wi$  : وزن کل (گرم)،  $Li$ : طول چنگالی موجود (میلی‌متر)،  
 $a$ : مقدار ثابت،  $b$ : نمای معادله توانی  
 سنجش اختلاف معنی دار بین  $b$  محاسباتی و  $B=3$  برای یک  
 آبزی با رشد همسان با استفاده از فرمول ذیل محاسبه  
 گردید (Zar, 1996):

### رابطه طول - وزن

عملیات زیست‌سنگی ماهی هور به صورت ماهانه و در بازه زمانی فروردین لغایت اسفند ۱۴۰۱ با استفاده از تخته زیست‌سنگی با دقیق ۱ سانتی‌متر و ترازوی دیجیتال با دقیق ۱ گرم انجام گرفت و میزان فراوانی طولی ثبت گردید. رابطه طول چنگالی و وزن نمونه‌ها محاسبه شد و برای محاسبه

$$t = [(s.dx) / (s.dy)] \times [(lb-3l) / (\sqrt{(l-r^2)})] \times [\sqrt{(n-2)}]$$

s: انحراف معیار لگاریتم طبیعی وزن، dy: انحراف معیار لگاریتم طبیعی طول چنگالی، s.dx: حجم نمونه

ضریب رشد با به کارگیری روش ELEFAN<sup>1</sup> (مدل بهینه‌سازی<sup>2</sup>) موجود در بسته TropFishR نرم‌افزار RStudio به دست آمد (Mildenberger *et al.*, 2017).  
 میزان بهینه  $t_0$  از طریق فرمول تحری<sup>3</sup> Pauly (1991) محاسبه شد (Froese and Binohlan, 2000)

$$\log(-t_0) = -0.3922 - 0.2752 \log L_{\infty} - 1.038 \log K$$

### پویایی جمعیت

داده‌ها بر اساس قاعده Sturgess طبقه‌بندی شدند (گروه‌های طولی ۹ سانتی‌متری) و  $L_{\infty}$ ، براساس نمودار Powell-Wetherall برآورد گردید. در مطالعه حاضر،  $L_{\infty}$  از این روش محاسبه گردید (Gayanilo *et al.*, 2003)  
 $(L_{\infty} = a / b) L' - L' = a + b L'$   
 $L'$ : میانگین گروه‌های طولی،  $L'$ : کمینه هر گروه طولی، a و b: عرض از مبدأ و شیب معادله

<sup>1</sup> Electronic length frequency analysis (ELEFAN)

<sup>2</sup> method = "optimise"

براساس نتایج حاصله، ۱۰۰٪-۸۵٪ (وضعیت ذخیره عالی)، ۶۵٪-۸۵٪ (وضعیت ذخیره متوسط) و کمتر از ۶۵٪ (وضعیت ذخیره ضعیف) است (Mallawa *et al.*, 2015; Haruna *et al.*, 2018 با طولی که ماهیان دارای این طول، احتمال صید آنها ۵۰ درصد است (Froese *et al.*, 2017) (در این مطالعه ۶۱ سانتی‌متر در نظر گرفته شد).

### شاخص نسبت پتانسیل مولدها براساس طول<sup>۳</sup> (LBSPR)

شاخص نسبت پتانسیل مولدها (SPR) این اصل را بیان می‌کند که برای داشتن یک جمعیت پایدار، آبزی کافی برای تخم‌ریزی و احیاء ذخایر باید زنده بماند. این شاخص تعداد بالغین قبل از تخم‌ریزی یا در اوایل سال‌های تخم‌ریزی در مقایسه با بالغینی که از پیری یا به دلایل طبیعی می‌میرند (بالغین براساس طول بلوغ از نابالغین جدا می‌گردند)، محاسبه کرده و نسبت آنها را با هم مقایسه می‌کند. نسبت پتانسیل مولدها دریک جمعیت در حال بهره‌برداری تابعی از نسبت مرگ‌ومیر صیادی به مرگ‌ومیر طبیعی ( $F/M$ )، انتخاب‌پذیری و نسبت شاخص‌های تاریخچه حیات مانند مرگ‌ومیر طبیعی به پارامتر رشد ( $M/K$ )، طول بلوغ به طول بی‌نهایت ( $L_{\infty}$ ) است (Hordyk *et al.*, 2015; Carruthers and Hordyk, 2018; Korkmaz *et al.*, 2023). براساس مطالعات گزارش شده، طول بلوغ این گونه ۶۲ سانتی‌متر در نظر گرفته شد. معمولاً حداقل میزان مجاز این شاخص  $= 0.4$  LBSPR در نظر گرفته می‌شود (Hordyk *et al.*, 2015; Carruthers and Hordyk, 2018):

$SPR = \frac{\text{Total Fished}}{\text{Total Unfished}}$

در تجزیه و تحلیل آماری داده‌ها، از برنامه Excel و نرم‌افزارهای R (4.3.0) Rstudio و R Development و بسته‌های TropFishR و LBSPR (Core Team, 2022) استفاده شد.

<sup>۳</sup> Length-based spawning potential ratio

مقایسه شاخص‌های رشد ( $\Phi'$ ) از آزمون Pauly و Sparre and Venema, Munro (۱۹۸۴) محاسبه گردید (1998):

$$\Phi' = \log(K) + 2 \log(L_{\infty})$$

مرگ‌ومیر طبیعی (M) نیز بر اساس معادله Sparre and Venema, Munro (۱۹۸۴) محاسبه گردید (1998):

$$(M) = -0.0152 - 0.297 \ln(L_{\infty}) + 0.654 \ln(k) + 0.642 \ln(T) \\ \ln$$

T میانگین دمای محیطی است و میانگین دمای سالانه آبهای سطحی استان ۲۶ درجه سانتی‌گراد در نظر گرفته شد (Kaymaram *et al.*, 2009).

مرگ و میر کل (Z) بر اساس اطلاعات گروه‌های طولی صید ۱ محاسبه شد و با تفاضل مرگ‌ومیر کل از مرگ‌ومیر طبیعی، میزان مرگ‌ومیر صیادی به دست آمد. ضریب بهره‌برداری<sup>۲</sup> که نسبت مرگ‌ومیر صیادی به مرگ و میر کل است، از رابطه  $E = F/Z$  محاسبه گردید (Sparre and Venema, 1998).

میزان مرگ و میر صیادی بهینه ( $F_{opt}$ ) برابر با مرگ‌ومیر طبیعی (M) در نظر گرفته شد (Froese and Pauly, 2022). طول بهینه صید ( $L_{opt}$ ) با استفاده از تخمین پارامترهای طول بی‌نهایت، نرخ رشد و مرگ و میر طبیعی به دست آمد (Froese *et al.*, 2017).

$$L_{opt} = L_{\infty} \left( \frac{3}{3+MK} \right)$$

$L_{\infty}$ : طول بی‌نهایت، K: نرخ رشد، M: مرگ‌ومیر طبیعی برای بررسی وضعیت و شرایط ذخیره، روش‌ها و فرمول‌های مختلفی وجود دارد، در این مطالعه براساس شاخص‌های جمعیتی و وزن‌دهی تاثیر این شاخص‌ها، از فرمول ذیل و جدول ۱ جهت محاسبه استفاده گردید. وضعیت ذخیره براساس شاخص جمعیتی (وزن‌دهی شده) مورد سنجش قرار گرفته و فرمول ذیل استفاده شده است:

(\*) ۱۰۰ × مجموع وزن دهی × مقدار / مجموع وزن دهی × مقدار

<sup>1</sup> Catch curve converted length (CCCL)

<sup>2</sup> Exploitation ratio

$$W = 0.069 L^{2.59} (N=201, R^2=0.89)$$

$L$  : طول چنگالی ماهی،  $W$  : وزن بدن (گرم) اختلاف معنی داری بین مقادیر  $b$  ماهی هور محاسباتی با  $B$  مورد انتظار ( $=3$ ) وجود داشت ( $p < 0.05$ ) و میزان  $b$  رابطه طول و وزن نشان دهنده رشد آلومتریک منفی (ناهمسان) است.

پویایی جمعیت برای کل نمونه ها به ترتیب طول بی نهایت ۱۳۲ سانتی متر، ضریب رشد  $0.039$  در سال، سن در طول صفر  $-0.28$  بود (شکل ۵)؛ مرگ و میر طبیعی  $0.061$  در سال، مرگ و میر صیادی  $0.088$  به ازاء سال، مرگ و میر کل  $0.049$  به ازاء سال با  $0.059$  درصد حدود اطمینان  $1.63 - 1.35$  (شکل ۶)؛ ضریب پهراه برداری سالانه  $E = 0.059$  و میزان شاخص عمرکرد رشد  $(\phi) = 0.84 / 3$  به دست آمد.

## نتایج

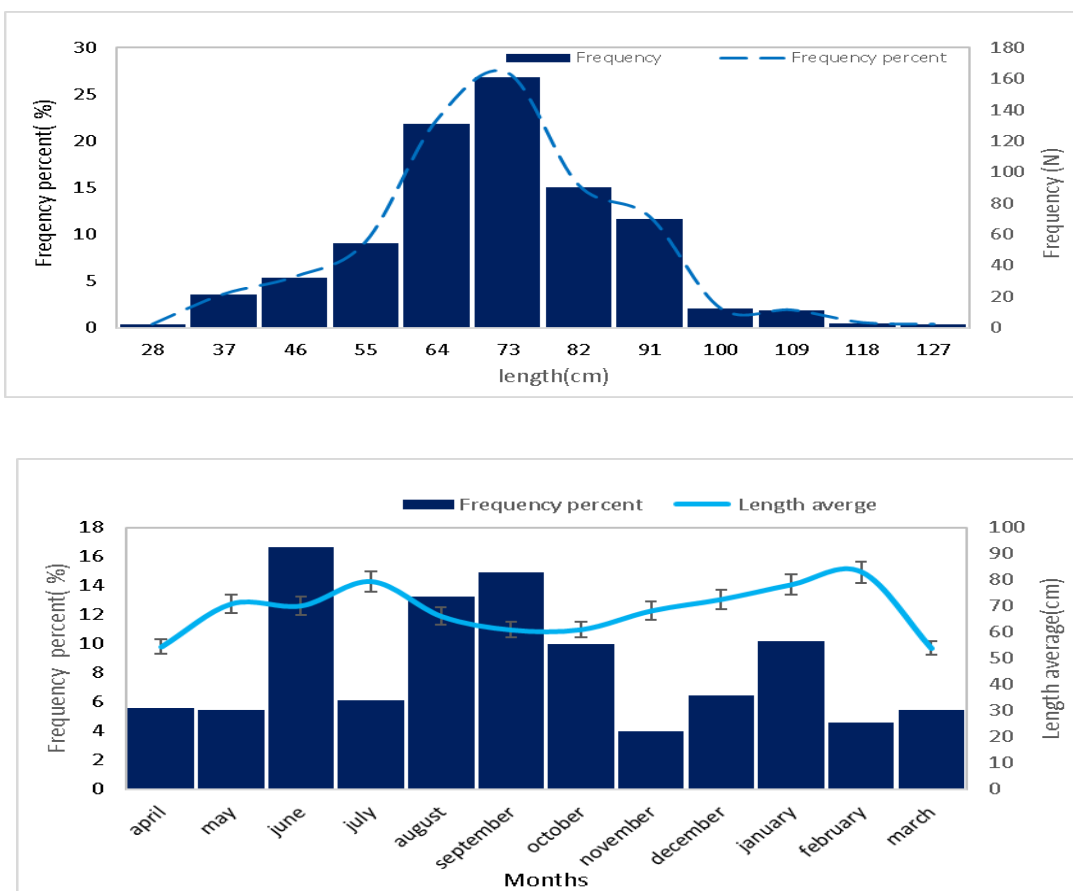
در مجموع ۷۷۴ عدد ماهی هور از فروردین لغایت اسفند ۱۴۰۱ مورد زیست سنجی قرار گرفت. در این بررسی ها کوچک ترین طول ماهی  $28$  سانتی متر، بزرگ ترین آن  $120$  سانتی متر و میانگین طول ( $\pm$  انحراف معیار)  $76.12 \pm 15.11$  سانتی متر در ماه های مختلف سال های تحقیق به دست آمد.

بیشترین فراوانی و درصد فراوانی (حدود ۲۷ درصد) گروه های طولی در دسته  $73-82$  سانتی متر به دست آمد (شکل ۳). همچنین بیشترین و کمترین تعداد و درصد فراوانی نمونه های ماهی طی مطالعه مربوط به ماه های خرداد و آبان بود. میانگین وزن ( $\pm$  انحراف معیار) نمونه ها  $42.32 \pm 25.82$  گرم در دامنه نمونه برداری  $1300-1300$  اساس رابطه ذیل به دست آمد (شکل ۴) :

جدول ۱: بررسی وضعیت ذخیره براساس شاخص های جمعیتی آن (Mallawa et al., 2015. Haruna et al., 2018. 2018)

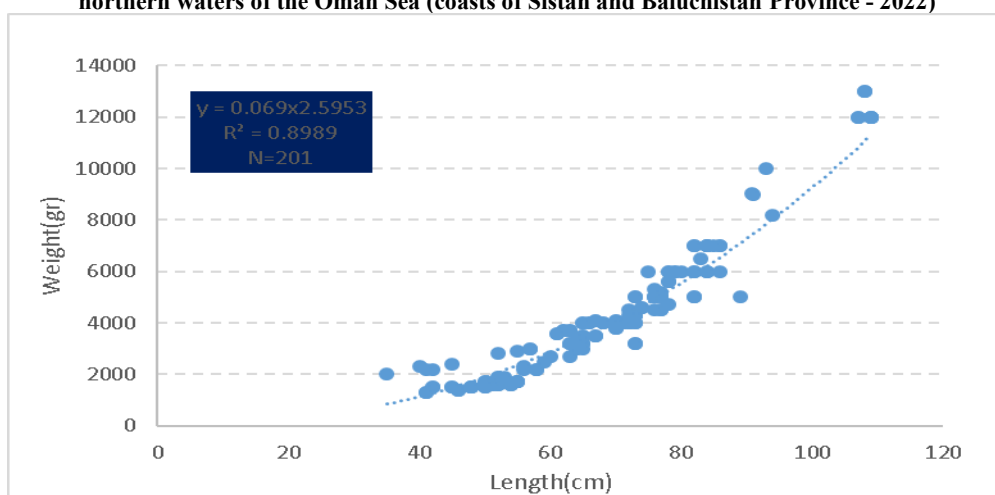
Table 1: Investigating the stock status based on its population indicators (Haruna et al., 2018, Mallawa et al., 2015)

Value × Heaviness	Value	Heaviness	Range	Index
10	1		Small fish	<b>Length frequency</b>
	3	2	Small - medium fish	
	5		Medium - Large fish	
10	1		Less than three	<b>Number of age groups</b>
	3	2	Three to five	
	5		More than five	
10	1		More than two	<b>Fishing mortality rate</b>
	3	2	Between one and two	
	5		Less than one	
5	1		More than 1	<b>Exploitation rate</b>
	3	1	Between 1 and 0.5	
	5		Less than 0.5	
5	1		Less than 0.5	<b>Growth rate</b>
	3	1	Between 0.5 - 0.75	
	5		More than 0.75	
10	1		Less than 30 %	<b>Acceptable biological catch</b>
	3	2	Between 30 % and 50 %	
	5		More than 50 %	
5	1		Available amount exceeds optimum amount	<b>Maximum recruitment</b>
	3	1	Available amount equal to optimum amount	
	5		Available amount less than optimum amount	
<b>55</b>	-	-	-	<b>Total</b>



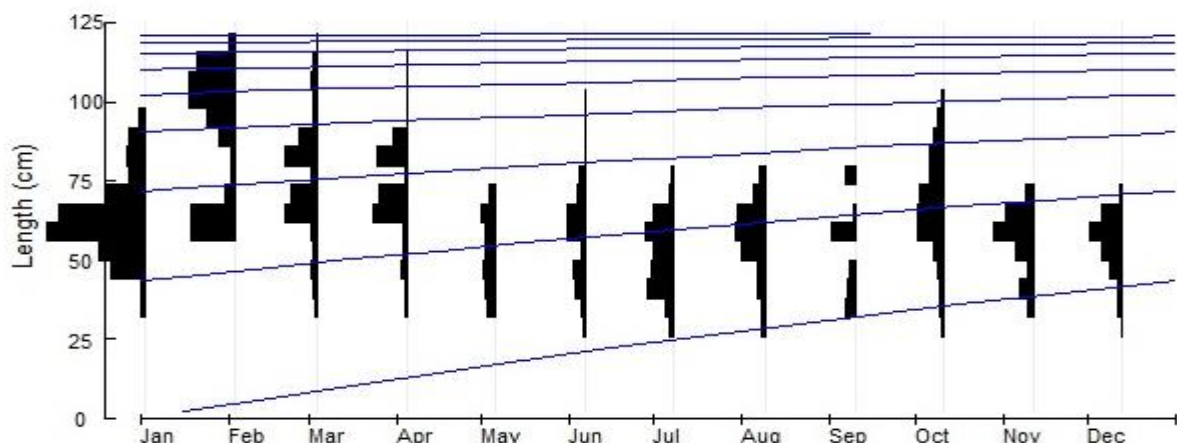
شکل ۳: درصد فراوانی نسبی ماهی هور در دسته های طولی مختلف طی نمونه برداری در آبهای شمالی دریای عمان (سواحل استان سیستان و بلوچستان، ۱۴۰۱)

Figure 3: The relative abundance percentage of longtail tuna fish in different length groups during sampling in the northern waters of the Oman Sea (coasts of Sistan and Baluchistan Province - 2022)



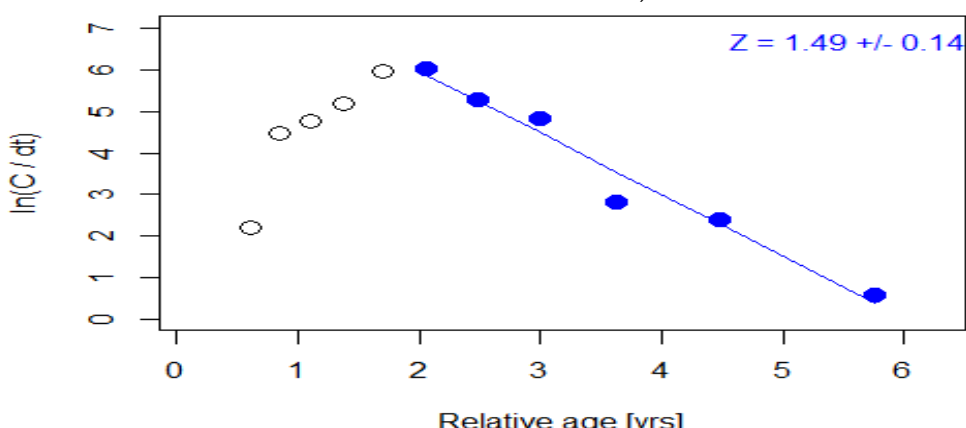
شکل ۴: رابطه طول چنگالی و وزن (کل) ماهی هور در آبهای شمالی دریای عمان (سواحل استان سیستان و بلوچستان، ۱۴۰۱)

Figure 4: The relationship between fork length and weight (total) of longtail tuna fish in the northern waters of the Oman Sea (coasts of Sistan and Baluchistan Province - 2022)



شکل ۵: منحنی رشدیابی کوهورت (رشد) ماهی هوور در آبهای شمالی دریای عمان (سواحل استان سیستان و بلوچستان)

Figure 5: Cohort tracking curve (growth) of longtail tuna fish on the northern waters of the Oman Sea (coasts of Sistan and Baluchistan Province)



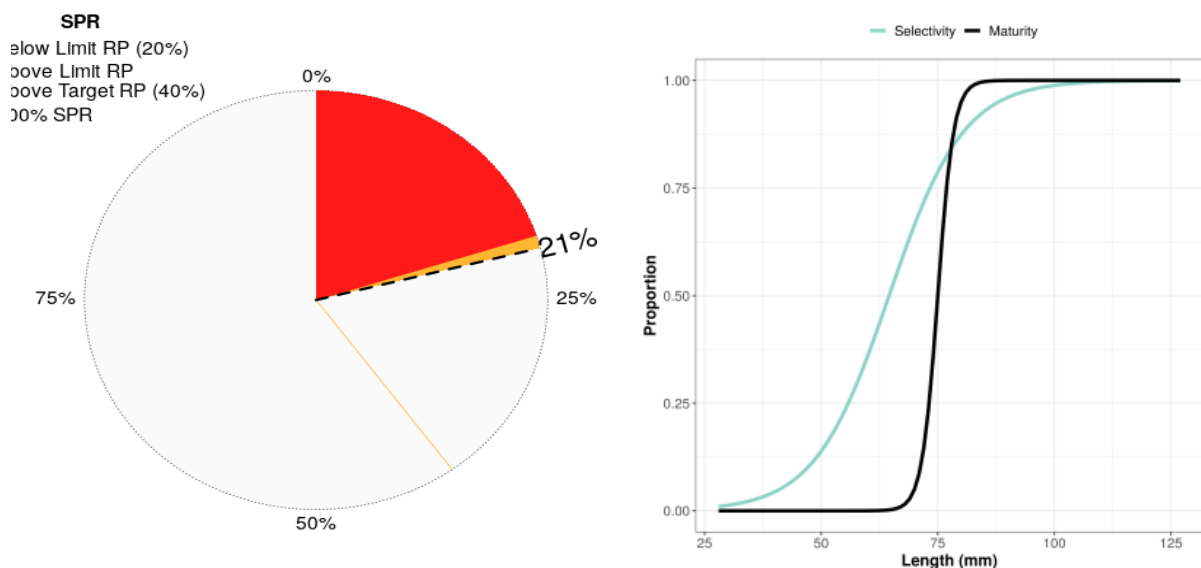
شکل ۶: منحنی صید برواساس انتخاب پذیری از تجزیه و تحلیل داده‌های فراوانی طولی ماهی هوور در آبهای شمالی دریای عمان (سواحل استان سیستان و بلوچستان)

Figure 6: Catch curve based on the selectivity from longtail tuna fish length frequency data analysis on the northern waters of the Oman Sea (coasts of Sistan and Baluchistan Province)

( $100 \times 55 / 41$ ). با توجه به طول بلوغ این گونه میزان نمونه‌های زیر طول بلوغ حدود ۴۰ درصد و میزان طول بهینه صید ۸۶ سانتی‌متر برای ماهی هوور نتیجه شد. نسبت پتانسیل مولدین براساس طول دریک جمعیت در حال بهره‌برداری تابعی از عوامل مختلف است و در سال ۱۴۰۱ این نسبت ( $27/0 - 16/0$ ) بدست آمد (شکل ۷).

معادله Von Bertalanffy برای این گونه در استان سیستان و بلوچستان از طریق معادله ذیل محاسبه شد:  
 $L_t = 132 (1 - \exp(-0.39(t + 0.28)))$

مقادیر شاخص‌هایی شرایط ذخیره به صورت: فراوانی اندازه‌ای ( $2 \times 5$ )، تعداد گروههای سنی ( $2 \times 5$ )، مرگومیر صیادی ( $2 \times 3$ )، نرخ بهره‌برداری ( $3 \times 1$ )، نرخ رشد ( $1 \times 1$ )، میزان صید قابل قبول ( $2 \times 5$ ) و محصول به ازاء بازگشت شیلاتی ( $1 \times 1$ ) محاسبه شده و میزان کل ۴۱٪ بدست آمده و براساس فرمول وضعیت ذخیره، عدد ۷۴٪ را نشان می‌دهد



شکل ۷: نمودار نسبت پتانسیل مولدین براساس طول ماهی هور در آبهای شمالی دریای عمان (سواحل استان سیستان و بلوچستان)

**Figure 7: The diagram of the length-base spawning potential ratio (LBSPR) of longtail tuna fish on the northern waters of the Oman Sea (coasts of Sistan and Baluchestan Province)**

دلایل آن افزایش صید و فشار صیادی طی دهه گذشته باشد (Hashemi *et al.*, 2020, 2021; Hashemi and Doustdar 2022; Hashemi *et al.*, 2023). تفاوت‌های موجود در طول بینهایت و ضریب رشد متاثر از تفاوت‌های اکولوژیک هر ناحیه است (King, 2007). به طور کلی، تفاوت در طول بینهایت و ضریب رشد از منطقه‌ای به منطقه دیگر می‌تواند به علت کمیت و کیفیت مواد غذایی و شرایط آب و هوایی باشد (Adams, 1980; Bartulovic *et al.*, 2004) و عوامل مختلف (سن، جنس، فصل، سال، نوع تغذیه، شرایط فیزیولوژیک)، تفاوت در دسترس بودن غذا و دوره تولید مثل) می‌توانند رشد ماهی را تحت تاثیر قرار دهند (Lalèyè, 2006).

## بحث

اندازه‌های طولی نمونه در فصل و ماههای مختلف متفاوت بوده و این تغییرات ماهانه و فصلی اندازه‌های طولی نمونه می‌تواند تحت تاثیر ویژگی‌های زیستی و تغییرات نمونه‌برداری (عدم نمونه‌برداری و ...) باشد (Korkmaz *et al.*, 2023). جهت استفاده از داده‌های فراوانی طولی (LFQ)<sup>۱</sup> بایستی تلاش شود از تمامی گروه‌های طولی و در تمامی طول سال نمونه برداری انجام پذیرد (Mildenberger *et al.*, 2021)، تا نتایج واقعی و بازگو گننده گونه مورد نظر باشد. مقایسه شاخصه‌های زیستی ماهی هور (مطالعه حاضر) با سایر مطالعات در نقاط مختلف جهان نمایش داده شده است (جدول ۲) و به نظر می‌رسد، نواحی گرمسیری (تایلند و هند) این گونه با طول بینهایت کمتر، ضریب رشد بیشتر و طول عمر کمتری نسبت به نواحی نیمه گرمسیری (خليج فارس و دریای عمان) دارد و روند طول بینهایت و ضریب رشد اين گونه نسبت به مطالعه گذشته در آبهای جنوب کشور نشان‌دهنده آن است که اين گونه با کاهش طول بینهایت مواجه بوده است که اين تغيير می‌تواند دلایل متعددی داشته باشد و از جمله

<sup>۱</sup> Length-frequency data (LFQ)

جدول ۲: مقایسه شاخص‌های زیستی ماهی هور با سایر مطالعات در نقاط مختلف جهان

Table 2: Comparison of biological indicators of longtail tuna fish with other studies in different parts of the world

$t_0$	K	$L_\infty$	Local	Reference
-0/02	0/41	123	Neuguinea	Wilson (1981)
-0/24	0/49	93	India	Silas <i>et al.</i> (1986)
-	0/22	133	Oman	Prabhakar and Dudley (1989)
-	0/55	108	Thailand	Yesaki and Carrara (1994)
-0/002	0/23	135	Australia	Griffiths <i>et al.</i> (2010)
-	0/35	133	Oman Sea and Persian Gulf (Iran)	Kaymaram <i>et al.</i> , 2013
-0/28	0/39	129	Oman Sea and Persian Gulf (Iran)	Darvishi <i>et al.</i> , 2018
-0/38	0/3	111	Oman Sea and Persian Gulf (Iran)	Yasemi <i>et al.</i> , 2017
-	0/27	140	Oman Sea and Persian Gulf (Iran)	Kaymaram <i>et al.</i> , 2009
-0/38	0/3	112	Oman Sea and Persian Gulf (Iran)	Nazari bejegan <i>et al.</i> , 2013
-0/26	0/41	137	Oman Sea and Persian Gulf (Iran)	Hashemi <i>et al.</i> , 2022
-0/26	0/39	132	Oman Sea (Iran)	Current study, 2023

ذخیره، میزان صید این گونه در آستانه حالت صید بی‌رویه قرار گرفته باشد. از مهم‌ترین عوامل موثر بر تحت فشار بودن ذخیره می‌توان به ۱- میزان صید و برداشت از ذخیره و ۲- عوامل محیطی مؤثر بر بقاء و بازماندگی و دسترسی به ذخیره، اشاره کرد (Mateus and Estupinan, 2002). بهترین راه برای کاهش میزان بهره‌برداری و نرخ بهره‌برداری، کاهش میزان فعالیت صیادی و کاهش مجوز صید است (Jenning *et al.*, 2000). براساس شاخص آسیب‌پذیری انجمن شیلاتی امریکا (Cheung *et al.*, 2004) و مقایسه نتایج بهدست آمده با این شاخص‌ها، این ماهی جزو ماهیان با آسیب‌پذیری متوسط بهشمار می‌آید. شاخص  $L_{\text{mean}}/L_{\text{opt}}$  در سال مورد مطالعه دارای مقادیر کمتر از یک بوده (حدود  $76/86 = 88/80$ ) که نشانگر پایین‌تر بودن بهره‌برداری نسبت به وضعیت میزان صید بهینه است (Cousido-Rocha *et al.*, 2022). معمولاً میزان مرگ‌ومیر صیادی حداقل محصول پایدار ( $F_{\text{MSY}}$ ) برابر با میزان مرگ‌ومیر طبیعی ( $M$ ) در نظر گرفته شده و رابطه  $F/F_{\text{MSY}} = F/M$  جهت بررسی وضعیت ذخیره استفاده می‌گردد (Kumar *et al.*, 2023). در این گونه میزان این شاخص  $F/F_{\text{MSY}} = 1/44$  بوده و نشانگر فشار صیادی بیش از بهینه است. همچنین میزان مرگ‌ومیر صیادی بهینه بیشتر از مرگ‌ومیر طبیعی بوده ( $F_{\text{MSY}} < F_{\text{opt}} < M$ ) و نشان‌دهنده

مقایسه مقادیر $\Phi$  منحنی رشد، برای این است که بین طول بی‌نهایت و ضربیب رشد، همبستگی وجود دارد و منحنی رشد حاصل از آن دارای نرخ رشدی است که در زمان و اندازه متفاوت، دارای تغییرات ثابتی است. اختلاف در شرایط اکولوژیک و تغییر عرض جغرافیایی، می‌تواند بر میزان  $L_\infty$  و  $\Phi$  تأثیرگذار باشد و این تغییرات شامل میزان متفاوتی از K است و حتی در یک منطقه در دوره‌های زمانی مختلف می‌توانند، میزان متفاوتی به علت تغییر شرایط محیطی داشته باشد (King, 2007).

براساس طول بلوغ این گونه (۶۲ سانتی‌متر) (کیمرام و همکاران، ۱۳۸۸)، بهنظر می‌رسد بیشتر ماهیان صید شده را نابالغین تشکیل می‌دهند (حدود ۴۰ درصد) و می‌تواند زنگ خطری برای بهره‌برداری پایدار از این گونه باشد. میزان ضربیب بهره‌برداری بیشتر از  $5/0$  بهدست آمده (به معنای صید بیش از میزان صید بهینه است) و ضربیب بهره‌برداری در جمعیت نباشند بیش از  $5/0$  یا مرگ‌ومیر صیادی بیش از مرگ‌ومیر طبیعی باشد، زیرا نشان‌دهنده صید بی‌رویه است (Sparre and Venema, 1998; King, 2007). در مطالعه کیمرام و همکاران (۱۳۸۸) در این منطقه، میزان مرگ‌ومیر طبیعی ( $71/0$ )، مرگ‌ومیر صیادی ( $2/0$ )، مرگ‌ومیر کل ( $91/0$ ) و ضربیب بهره‌برداری ( $28/0$ ) برآورد شد. بهنظر می‌رسد، در سالیان اخیر با افزایش برداشت از این

مرگومیر طبیعی و شاخص وضعیت ذخیره می‌توان گفت که این گونه دارای آسیب‌پذیری متوسط و وضعیت ذخیره متوسط رو به کاهش است و میزان برداشت سالانه از ذخیره این گونه در مرحله صید بی‌رویه قرار گرفته است.

### منابع

- Adams, P., 1980.** Life history Patters in maine fishes and their consequences for fisheries management. *Fish Bulletin*, 78(1):1-5.
- Arrizabalaga, H., Murua, M. and Majkowski, J., 2012.** Global status of tuna stocks: summary sheets. *Revista de Investigación Marina, AZTI-Tecnalia*, 19(8):645-676.
- Bartulovic, V., Glamuzina, B., Conides, A., Dulcic, J., Lucic, D., Njire, J. and Kozul, V., 2004.** Age, Growth, Mortality and Sex Ratio of Sand Smelt, *Atherinaboyerii*, Risso, 1810 (Pisces: Atherinidae) in the Estuary of the Mala Neretva River (Middle-Eastern Adriatic, Croatia), *Journal Applied Ichthyology*, 20(1):427-430.
- Carruthers, T.R. and Hordyk, A.R., 2018.** The Data-Limited Methods Toolkit (DLM tool): An R package for informing management of data-limited populations. *Methods in Ecology and Evolution*, 9(12):2388-2395. DOI:10.1111/2041-210X.13081
- Cheung, W., Pitcher, T. and Pauly, D., 2004.** A fuzzy logic expert system to estimate intrinsic extinction vulnerabilities of marine fishes to fishing. *Biological Conservation*, 124(1):97-111. DOI:10.1016/j.biocon.2005.01.017
- Collette, B.B. and Nauen, C.E., 1983.** FAO species catalogue. Vol. 2. Scombrids of the world. An annotated and illustrated catalogue of tuna, mackerel's bonitos and related species known to date. FAO Fish Synopsis, 2:137 P.

بهره‌برداری بیشتر نسبت به میزان صید بهینه است (Korkmaz *et al.*, 2023).

شاخص LBSPR تخمین‌هایی از نسبت پتانسیل مولدين (SPR) (ارائه می‌کند) (Hordyk *et al.*, 2015; Carruthers and Hordyk, 2018). این مطالعه وضعیت صید بیش از بهینه ( $LBSPR = 0/21$ ) و بهره‌برداری بی‌رویه را نشان می‌دهد. در این شاخص مقادیر کمتر از  $0/2$  ( $B/B_0 \approx 0/0.2$ ) نشان‌دهنده تهی شدن شدید ذخیره، مقادیر بالای  $0/6$  ( $B/B_0 \approx 0/0.6$ ) وضعیت مناسب ذخیره و مقادیر  $0/4$  ( $B/B_0 \approx 0/0.4$ ) وضعیت متوسط ذخیره و بهره‌برداری کامل و مقادیر  $0/2$  ( $B/B_0 \approx 0/0.2$ ) وضعیت صید بی‌رویه و ذخیره رو به کاهش را نشان می‌دهد (Froese *et al.*, 2017; Zhai *et al.*, 2020; Zhang *et al.*, 2023).

نسبت پتانسیل مولدين در یک جمعیت در حال بهره‌برداری تابعی از نسبت مرگومیر صیادی به مرگومیر طبیعی ( $F/M$ ), انتخاب‌پذیری و نسبت پارامترهای تاریخچه حیات چون مرگومیر طبیعی به پارامتر رشد ( $M/K$ ), طول بلوغ به طول بی‌نهایت ( $L_\infty$ ) (Lm/  $L_\infty$ ) است (Carruthers and Hordyk, 2018).

در بسیاری از مطالعات از شاخص LBSPR و شاخص برآوردهای بیomas بیزی براساس طول (LBB) که رویکردهای داده‌های محدود هستند، جهت بررسی وضعیت ذخایر استفاده می‌شود. این دو شاخص براساس طول است و بیomas (بی‌نهایت، فعلی و مطلوب) ذخیره برآورده می‌شود و معمولاً این دو روش دارای نتایج مشابهی هستند (Hashemi *et al.*, 2023; Zhang *et al.*, 2023).

همچنین از شاخص LBSPR به عنوان یک روش مناسب جهت بررسی ذخایری که ارزیابی نشده‌اند یا اطلاعات کمی در این زمینه دارند، یاد می‌شود (Korkmaz *et al.*, 2023). شرایط وضعیت ذخیره براساس فرمول، عدد ۷۴٪ را نشان داده است و براساس معیارهای موجود، شرایط ذخیره در حد متوسط (۸۵٪-۶۵٪) (وضعیت ذخیره متوسط) است (Mallawa *et al.*, 2015; Haruna *et al.*, 2018).

با توجه به شاخص‌های مهمی چون ضریب بهره‌برداری، شاخص LBSPR،  $L_{mean}/L_{opt}$ ، نسبت مرگومیر صیادی به

<sup>1</sup> Length-based Bayesian biomass estimation (LBB)

- Cousido-Rocha, M., Cerviño, S., Alonso-Fernández, A., Gil, J., González-Herraiz, I., Rincón, M., Ramos, F., Rodríguez-Cabello, C., Sampedro, P., Vila, P. and Grazia Pennino, P., 2022.** Applying length-based assessment methods to fishery resources in the Bay of Biscay and Iberian coast ecoregion: Stock status and parameter sensitivity. *Fisheries Research*, 248(1):1-15. DOI:10.1016/j.fishres.2021.106197.
- Darvishi M., Paighambari S.Y., Ghorbani A.R. and Kaymaram, F., 2018.** Population assessment and yield per recruit of long tail tuna (*Thunnus tonggol*) in northern of the Persian Gulf and Oman Sea (Iran, Hormozgan Province). *Iranian Journal of Fisheries Science*, 17(4):776-789. DOI:10.22092/ijfs.2018.116992
- FAO, 2018.** The State of World Fisheries and Aquaculture 2018 - Meeting the sustainable development goals. Rome. Licenses: CC BY-NC-SA 3.0 IGO. 227 P.
- Free, C.M., Jensen, O. P., Anderson, S., Gutierrez, N.L., Kleisner, K., Longo, C., Minto, C., ChatoOsio, G. and Walsh, J., 2020.** Blood from a stone: Performance of catch-only methods in estimating stock biomass status. *Fisheries Research*, 223:1–10. DOI: 10.1016/j.fishres.2019.105452.
- Froese, R., Demirel, N., Gianpaolo, C., Kleisner, K.M. and Winker, H., 2017.** Estimating fisheries reference points from catch and resilience. *Fish and Fisheries*, 18(3):506-526. DOI:10.1111/faf.12190.
- Froese, R. and Binohlan, C., 2000.** Empirical relationships to estimate asymptotic length, length at first maturity and length at maximum yield per recruit in fishes, with a simple method to evaluate length frequency data. *Journal. Fish Biology*, 56(1):758-773.
- Froese, R. and Pauly, D., 2022.** FishBase World Wide Web electronic publication. Available at: <http://www.fishbase.org> (Access on 26.05.2022).
- Ganga, U. and Pillai, N., 2000.** Field identification of scombrids from Indian sea. Ln.Pillai,N.G.K., Menon,N.G., Pillai,P.P and Ganga,U. (Eds.) Management Scombrids Fisheries. Central Marine Fishery Research Institute, Kochine, pp.1-13.
- Gayanilo, F.C., Pauly, D. and Parre, P., 2003.** The FAO-ICLARM stock assessment tool (fisat) users guide. Rome, Italy.163 P.
- Griffiths, S., Pepperell, J., Tonks, M., Sawynok, W., Olyott, L., Tickell, S., Zischke, M., Lynne, J., Burgess, J., Jones, E., Joyner, D., Makepeace, C. and Moyle, K., 2010.** Biology, fisheries and status of longtail tuna (*Thunnus tonggol*), with special reference to recreational fisheries in Australian waters. FRDC Final Report 2008/058. 101 P.
- Haruna, A., Mallawa, A., Musbir, M. and Zainuddin, M., 2018.** Population dynamic indicator of the yellowfin tuna *Thunnus albacares* and its stock condition in the Banda Sea, Indonesia. *AACL Bioflux*, 11(4):1323-1333.
- Hashemi, S.A.R. and Doustdar, M., 2022.** Stock Assessment of Indo-Pacific King Mackerel, *Scomberomorus guttatus* (Bloch & Schneider, 1801) in the Persian Gulf and

- Oman Sea, southern Iranian waters, using CMSY and DBSRA. *International Journal of Aquatic Biology*, 10(1):12-20.
- Hashemi, S.A.R., Doustdar, M., Gholampour, A. and Khanehzaei M., 2020.** Length-based fishery status of yellowfin tuna (*Thunnus albacares* Bonnaterre, 1788) in the northern waters of the Oman Sea. *Iranian Journal of Fisheries Sciences*, 19(6):2790-2803. DOI:10.22092/ijfs.2020.122747.
- Hashemi, S.A.R., Doustdar, M., Ghasemzade, Gh. and Gholampour, A., 2021.** Length-based fishery status of skipjack tuna, *Katsuwonus pelamis* (Linnaeus, 1758) (Teleostei: Scombridae: Scombrinae) in the northern waters of the Oman Sea (Iran). *Iranian Journal of Ichthyology*, 8(3):160-169. DOI:10.22034/iji.v8i3.552
- Hashemi, S.A.R., Doustdar, M. and Mohebi Derakhsh, P., 2022.** Stock assessment of Yellowfin tuna, *Thunnus albacares* (Bonnaterre, 1788) using the LBB and LB-SPR methods in the northern Oman Sea, Iran. *International Journal of Aquatic Biology*, 11(4):313-320. DOI:10.22034/ijab.v11i4.2009.
- Hashemi, S.A.R., Erfani, A. and Rahimi, Q., 2023.** Population Characteristics of Havoor fish (Long tailed tuna) in the waters of the Persian Gulf and Oman Sea, Hormozgan Province. *Journal of Marine Fish*, 5(1):51-68. [in Persian]
- Hordyk, A., Ono, K., Valencia, S., Loneragan, N. and Prince, J., 2015.** A novel length-based empirical estimation method of spawning potential ratio (SPR), and tests of its performance, for small-scale, data-poor fisheries. *ICES Journal of Marine Science*, 72(1):217–231. DOI:10.1093/icesjms/fsu004
- IOTC, 2020.** Report of the 10th Session of the IOTC Working Party on Neritic Tunas. IOTC-2020-WPNT10-R[E]. 73 P.
- Iranian Fisheries Organization, 2023.** Bureau of statistics, Fishery statistics yearbook, 25 P. [in Persian]
- Jenning, S., Kasier, M. and Reynold, J., 2000.** Marine Fisheries Ecology. Black wall Science, UK. 391 P.
- Kaymaram, F., Hosseini, A., Darvishi, M. and Talebzadeh, A., 2009.** Report on the changes in the population of large plagic fishes for the purpose of optimal exploitation in the waters of the Persian Gulf and Oman Sea. Final Report, *Iranian Fisheries Science Research Institute*, Iran. 126 P. [in Persian]
- Kaymaram, F., Darvishi, M., Behzadi, S. and Ghasemi, S., 2013.** Population dynamic parameters of *Thunnus tonggol* (Bleeker, 1851) in the Persian Gulf and Oman Sea. *Iranian Journal of Fisheries Sciences*, 12(4), 855-863.
- King, M.G., 2007.** Fisheries biology assessment and management. Second edition published by Blackwell Publishing Ltd., UK. pp. 189-194.
- Kokkalis A., Eikeset A.M., Thygesen U.H., Steingrund P. and Andersen K.H., 2016.** Estimating uncertainty of data limited stock assessments. *ICES Journal of Marine Science*, 74(1):69-77. DOI:10.1093/icesjms/fsw145.

- Korkmaz, B., Bolat, Y. and Cilbiz, M., 2023.** Length-based Stock Assessment for the Data-poor Crayfish Fishery from the Eğirdir Lake, Türkiye. *Turkish Journal of Fisheries and Aquatic Sciences*, 23(SI):12. DOI:10.4194/TRJFAS22354.
- Kumar, R., Dineshbabu A.P., Rahanglade, R., Vase, V.K., Gohel, J. and Solanki, V., 2023.** Assessing Low Value Crustacean Bycatch Species Using Length Based Bayesian Biomass (LBB) Method, a Tool for Data Poor Fish Stock Assessment. *Turkish Journal of Fisheries and Aquatic Sciences*, 23(SI):12. DOI:10.4194/TRJFAS22189.
- Lalèyè, P.A., 2006.** Length-weight and length-length relationships of fish from the Ouémé River in Bénin (West Africa). *Journal Applied Ichthyology*, 22(1):502-510.
- Mallawa A., Amir F. and Susanti W., 2015.** Assessment of *Katsuwonus pelamis* conditions in Flores Sea waters, South Sulawesi. Proceedings of the National Symposium on Marine and Fisheries II, Hasanuddin University Press, pp. 299-307. (in Indonesian)
- Mateus, A. and Estupina, B., 2002.** Fish stock assessment of Piraputanga (*Brycon microlepis*) in the Cuiaba Basin. *Braz Journal Biology*, 10(1):165-170.
- Mildenberger, T.K., Taylor, M.H. and Wolff, M., 2017.** TropFishR: An R package for fisheries analysis with length- frequency data. *Methods in Ecology and Evolution*, 8(11):1520–1527, DOI:10.1111/2041-210X.12791
- Mildenberger, T.K., Taylor, M.H. and Wolff, M., 2021.** vignettes of *TropFishR*. Available at: <https://cran.rproject.org/web/packages/TropFishR/vignettes/lfqData.html> (Access on: July 20, 2022)
- Nazari Bejgan, A., Darvishi, M., Kamrani, A. and Yasami, M., 2013.** Growth parameters and estimation of Havoov fish growth using the fashion progress method in the waters of Hormozgan Province. *Shilat journal, Journal of Natural resources of Iran*, 65(1):89-98
- Ovando, D., Free, C.M., Jensen, O.P. and Hilborn, R., 2022.** A history and evaluation of catch-only stock assessment models. *Fish and Fisheries*, 23(1):616–630. DOI:10.1111/faf.12637
- Prabhakar, A. and Dudley, R.G., 1989.** Age, growth and mortality rates of longtail tuna *Thunnus tonggol* (Bleeker) in Omani waters based on length data. *Indo-Pacific Tuna Development and Management Programme IPTP/89/GEN 16*, 90-96.
- R Development Core Team, 2022.** R: A language and environment for statistical computing. vienna: foundation for statistical computing. Available at: <http://www.R-project.org>
- Rosenberg, A.A., Fogarty, M.J., Cooper, A.B., Dickey-Collas, M., Fulton, E.A., Gutiérrez, N.L., Hyde, K.J.W., Kleisner, K.M., Kristiansen, T., Longo, C., Minte-Vera, C., Minto, C., Mosqueira, I., Chato Osio, G., Ovando, D., Selig, E.R., Thorson, J.T. and Ye, Y., 2014.** Developing new approaches to global stock status assessment and fishery

- production potential of the seas. FAO Fisheries and Aquaculture Circular No. 1086. FAO, Rome. 175 P.
- Silas, E.G., Pillai, P.P., Srinath, M., Jayaprakash, A.A., Muthiah, Balan, V., Yohannan, C.T.M., Sirameetan, P., Mohan, M., Livingston, P., Kunhikoya, K.K., Pillai, M.A. and Sarma, P.S.S., 1986.** Population dynamics of tunas: stock assessment. *Bulletin of the Centre for Marine Fisheries Research Institute, Cochin*, 36:20-27.
- Sparre, P. and Venema, S.C., 1998.** Introduction to tropical fish stock assessment, FAO Fisheries Technical Paper, Italy. 450 P.
- Wilson, M.A., 1981.** The biology, ecology and exploitation of longtail tuna, *Thunnus tonggol* (Bleeker) in Oceania. Macquarie University, New South Wales, p. 195.
- Yasemi, M., Bajgan, A.N. and Parsa, M., 2017.** Determining the growth and mortality parameters of longtail tuna (*Thunnus tonggol* Bleeker, 1851) using length frequency data in coastal waters of the northern Persian Gulf and Oman Sea, Iran. *International Aquatic Resource*, DOI:10.1007/s40071-017-0170-5
- Yesaki, M. and Carrara, G., 1994.** Age, growth and natural mortality of kawakawa (*Euthynnus affinis*) from the western Indian Ocean. Proceeding of the 5th Expert Consultation on Indian Ocean Tunas, Mahe, Seychelles, 4-8-October 1993. FAO-UNDP Indo-Pacific Tuna Development and Management Programme, Colombo, Sri-Lanka. *IPTP*, 8:62-66.
- Zar, J.H., 1996.** Biostatistical analysis. 3<sup>rd</sup> edition. Prentice-Hall Inc., New Jersey, USA. 662 P.
- Zhai, L., Liang, C. and Pauly, D., 2020.** Assessments of 16 Exploited Fish Stocks in Chinese Waters Using the CMS and BSM Methods. *Frontiers in Marine Science*, 7(1):1-10. DOI:10.3389/fmars.2020.483993
- Zhang, K., Zhang, J., Zhang, P., Su, L., Hong, X., Qiu, Y. and Chen, Z., 2023.** This is what we know: Assessing the stock status of the data-poor skipjack tuna (*Katsuwonus pelamis*) fishery in the South China Sea. *Front Marine Science*, 10:1095411. DOI:10.3389/fmars.2023.1095411
- Zhou, S., Punt, A.E. and Smith, A., 2018.** An optimized catch-only assessment method for data poor fisheries. 2017. *ICES Journal Marine*, 75(1):964–976. DOI:10.1093/icesjms/fsx226

**Population dynamics and length-based spawning potential ratio of longtail tuna  
(*Thunnus tonggol* Bleeker, 1851) in the northern waters of the Oman Sea (Coasts of  
Sistan and Baluchistan Province)**

Hashemi S.A.R.<sup>1\*</sup>; Doustdar M.<sup>2</sup>

\*seyedahmad91@gmail.com

1-Off-shore Fisheries Research Center, Iranian Fisheries Science Research Institute (IFSRI), Agricultural Research, Education and Extension Organization (AREEO), Chabahar, Iran  
2- Iranian Fisheries Science Research Institute (IFSRI), Agricultural Research, Education and Extension Organization (AREEO), Tehran, Iran

### **Abstract**

In this research, population characteristics and length-based spawning potential ratio (LBSPR) of longtail tuna (*Thunnus tonggol*) were investigated. For this purpose, information was collected from 4 fishing grounds on the coasts of Sistan and Baluchistan Province, including Bris, Pasabandar, Pezam and Kanarak. In total, more than 700 fish were bio-measured in the research stations (catch loading areas), and the growth indices were infinite length  $L_{\infty}=132$ (cm), annual growth coefficient  $K=0.39$ , annual natural mortality  $M=0.61$ , the annual fishing mortality  $F=0.88$ , the total annual mortality  $Z=1.49$  and the annual exploitation coefficient  $E=0.59$  and the time of zero length to=-0.28 and the amount of growth performance index  $\Phi'=3.84$ . The ratio of length-based spawning potential ratio (LBSPR) in 2022 for this species was LBSPR=0.21(0.16-0.27). This research showed that this species has medium vulnerability and medium stock status, and also the annual harvest of this species is in the stage of overfishing.

**Keywords:** Sistan and Baluchistan Province, Longtail tuna, Demographic characteristics, Spawning potential ratio

---

\*Corresponding author